

Рис. 5. Динамика заполнения порового объема за очагом водой при  $t_{js} < t < t_{j+1}$ ,  $tt_0^{-1} = 242,1(1)$ ,  $249,4(2)$ ,  $256,1(3)$ ,  $\alpha = 2,8 \times 10^{-2}$  и  $t_0 = 1,6 \cdot 10^5$  с.

реакции, обусловленных термокинетическими и конвективными условиями [3—5]. Очаг будет устойчив к циклу подачи при  $x_c > L_c$ , если в (4) положить  $W = 0$ , что соответствует постоянному водовоздушному отношению при непрерывной подаче флюидов. Рис. 4 иллюстрирует переход от термогидродинамически устойчивого циклического режима к «колебательному» с увеличивающимся во времени водовоздушным отношением.

Отметим одну особенность в распределении насыщенностей фаз за очагом при  $x_c < L_c$ . После нагнетания порции воздуха  $\bar{S}_{2*} \approx 0,7 \div 0,75^1$ . Последующее нагнетание воды приводит к практически поршневому вытеснению воздуха из приграничной области вначале и плавному изменению насыщенности при  $S_2 \approx 0,95$  (см. рис. 5). Во избежание такого режима, когда очаг обгоняет передний фронт нагнетаемых порций воды, при определении  $X_i$  по (4) необходимо задавать  $\bar{S}_{2*} \geq i - \bar{S}_{2*}$ . Величина  $\bar{S}_{2*} \approx 0,25$  — естественный нижний предел устойчивости циклического режима. На это указывает и характер кривых устойчивости на рис. 3 при малых  $S$ . Обе кривые обрываются снизу при некоторых значениях  $S$ , ниже которых обнаружить устойчивый режим по результатам численных расчетов не удалось.

#### ЛИТЕРАТУРА

1. Богданов И. П. Закономерности распространения очага внутрипластового горения при порционной подаче воды и воздуха в пласт // ФГВ.— 1988.— 24, № 4.— С. 64.
2. Внутрипластовое горение с заводнением при разработке нефтяных месторождений.— М.: Недра, 1974.
3. Богопольский А. О., Шарифов Я. А. О движении фронта горения нефти в пористой среде // ФГВ.— 1976.— 12, № 1.— С. 9.
4. Федотов С. П., Михайлова П. А. // ИФЖ.— 1988.— 50, № 5.— С. 767.
5. Алдушин А. П., Каспарян С. Г. Устойчивость стационарных волн фильтрационного горения // ФГВ.— 1981.— 17, № 6.— С. 37.
6. Баренблатт Г. И., Ентов В. М., Рыжик В. М. Движение жидкостей и газов в природных средах.— М.: Недра, 1984.
7. Gottfried V. S. // SPE J.— 1965.— 5, N 3.— P. 196.
8. Богданов И. П., Чудов Л. А. Динамика многофазных сред.— Новосибирск: ВЦ СО АН СССР, 1983.

г. Москва

Поступила в редакцию 3/X 1989

УДК 534.222

Н. А. Королева, С. П. Федотов

### АВТОКОЛЕБАНИЯ ОГРАНИЧЕННОГО ОБЪЕМА РЕАГИРУЮЩЕЙ ГАЗОВЗВЕСИ

Рассмотрена задача о поведении слабонелинейных акустических возмущений в ограниченном объеме горячей газовзвеси. Получены уравнения для определения значений установившихся амплитуд колебаний. Подробно обсужден вопрос о влия-

<sup>1</sup> Величина  $\bar{S}_{2*}$  зависит от фазовых проницаемостей  $\varphi_{2,3}$ . В данном случае использовались  $\varphi_i$ , предложенные в [7].

нии дисперсии, вызванной нестационарным динамическим и тепловым взаимодействием фаз газозвеси, на нелинейное взаимодействие стоячих волн.

В рамках модели взаимодействующих взаимопроникающих континуумов изучается поведение слабонелинейных акустических возмущений в ограниченном объеме химически реагирующей двухфазной смеси монодисперсных твердых частиц в газообразном окислителе. При определенных условиях в таких средах имеет место эффект волновой неустойчивости, т. е. увеличение амплитуды звуковой волны [1]. В результате развития неустойчивости возможно формирование и установление в замкнутом объеме стационарных стоячих волн конечной амплитуды, образующихся вследствие перекачки энергии от неустойчивых в линейном приближении мод к затухающим при их нелинейном взаимодействии.

С целью изучения таких автоколебаний система законов сохранения массы, энергии и импульса для обеих фаз сведена к единственному нелинейному волновому уравнению. Показано, что зависимость скорости звука от частоты приводит к ограничению перекачки энергии вверх по спектру и тем самым к увеличению амплитуд первых обертонов. Проведенное исследование обобщило результаты, полученные в [1], и методически примыкает к [2, 3].

### Постановка задачи

Рассмотрим акустические колебания смеси взвешенных в газообразном окислителе твердых частиц одинакового радиуса  $a$  в канале конечной длины  $l$ . Предполагая, что на расстояниях порядка длины волны содержится достаточное количество частиц, будем описывать процессы колебания в смеси методами механики сплошной среды. Пренебрегаем диссипацией звуковых волн, обусловленной вязкостью и теплопроводностью в объеме газа. Выбирая для анализа химическую реакцию, протекающую в чисто гетерогенном режиме без изменения молярного содержания ( $A + B = AB$ ), запишем систему уравнений движения двухфазной смеси в виде [4, 5]

$$\begin{aligned} \frac{\partial(\varepsilon d_0)}{\partial t} + \frac{\partial(\varepsilon d_0 u)}{\partial x} &= -I, & \frac{\partial(\rho d_1)}{\partial t} + \frac{\partial(\rho d_1 v)}{\partial x} &= I, \\ \frac{\partial(\varepsilon n_0)}{\partial t} + \frac{\partial(\varepsilon n_0 u)}{\partial x} &= -I_0, & \rho &= 1 - \varepsilon, & d_0 &= n_0 + n_1, \\ \varepsilon d_0 \left( \frac{\partial}{\partial t} + u \frac{\partial}{\partial x} \right) u &= -\frac{\partial p}{\partial x} - f + I(u - v), \\ \rho d_1 \left( \frac{\partial}{\partial t} + v \frac{\partial}{\partial x} \right) v &= f, & p &= R_0 n_0 T_0 + R_1 n_1 T_0, \\ \varepsilon d_0 c_v \left( \frac{\partial}{\partial t} + u \frac{\partial}{\partial x} \right) T_0 + p \frac{\partial}{\partial x} (\varepsilon u + \rho v) &= Q_0 - \frac{p}{d_0} I \left( 1 - \frac{d_0}{d_1} \right) + \\ + f(u - v) - I \frac{(v - u)^2}{2} + \alpha (T_* - T_0), & I &= -(g - 1) I_0, \\ \rho d_1 c_1 \left( \frac{\partial}{\partial t} + v \frac{\partial}{\partial x} \right) T_1 &= Q_1, & Q_0 - Q_1 &= LI_0. \end{aligned} \quad (1)$$

Здесь  $p$ ,  $T_0$  — средние давления и температура смеси окислителя и продукта реакции;  $T_*$  — температура окружающей среды;  $\alpha$  — эффективный коэффициент теплообмена;  $d_0$ ,  $d_1$  и  $u$ ,  $v$  — плотности и средние скорости несущего газа и частиц соответственно;  $\rho$  — объемная концентрация частиц;  $n_0$  и  $n_1$  — плотности окислителя и продукта реакции;  $T_1$  — средняя температура частиц;  $L$  — тепловой эффект реакции;  $g$  — отношение молекулярных весов продукта реакции и окислителя;  $c_v$  — удельная теплоемкость газа при постоянном объеме;  $c_1$  — удельная теплоемкость материала частиц.

Стационарное состояние, в котором взвесь считается неподвижной ( $u = v = 0$ ), достигается при равенстве тепловыделения за счет химической реакции тепловоду через стенки канала, т. е.  $Q_0 = \alpha(T_0 - T_*)$ .

При анализе волновых движений двухфазной реагирующей смеси система уравнений (1) может быть замкнута следующими выражениями для потоков тепла  $Q_0$ ,  $Q_1$ , потока окислителя  $I_0$  и силы межфазового взаимодействия  $f$  [4]:

$$\begin{aligned} f &= \frac{\rho d_1}{\tau_d} (u - v), \quad \tau_d = \frac{2a^2 d_1}{3v_0 \bar{a}_0}, \\ Q'_0 &= \frac{3\rho \lambda_0}{a^2} (T'_1 - T'_0), \quad \frac{dT'_1}{dt} = \frac{T'_0 - (1 - p_*) T'_1}{\tau_t}, \\ I'_0 &= \frac{3\rho \lambda_0 p_*}{a^2 L} T'_1, \quad P_* = \frac{E}{RT_{01}^2} (T_{01} - T_0), \quad \tau_t = \frac{a^2 d_1 c_1}{3\lambda_0}, \end{aligned} \quad (2)$$

где штрих означает потоки, возмущенные волной;  $\lambda_0$  — коэффициент теплопроводности несущего газа;  $T_{01}$  — стационарное распределение температуры в окрестности частицы;  $E$  — энергия активации;  $R$  — газовая постоянная;  $T'_0$ ,  $T'_1$  — соответственно возмущенные звуковой волной температуры в газе и внутри частицы. Данные выражения получены для сильно разбавленной газовой взвеси ( $\rho \ll 1$ ) в случае квазистационарного обтекания частиц.

Пусть плотность окислителя  $n_0$  не изменяется в течении времени порядка периода волны, т. е.  $\tau_n \omega \gg 1$ . Здесь  $\tau_n = a^2(1 + x_1)/3\rho D x_1$ , а  $x_1$  — параметр, характеризующий отношение скорости химической реакции к скорости подвода окислителя к поверхности частицы диффузией. В кинетическом режиме горения  $x_1 = az \exp(-E/RT)/D \ll 1$ .

### Линейный анализ

Поведение акустических колебаний в инертной или химически реагирующей газовой взвеси зависит от процессов динамического и теплового взаимодействия между фазами. Эти явления вызывают диссипацию энергии волны и дисперсию ее фазовой скорости. В работе [4] проведен анализ волновых возмущений в предельной ситуации:  $\tau_d \omega \sim \tau_t \omega \ll 1$ , где  $\tau_d$  и  $\tau_t$  — соответственно времена динамической и тепловой релаксации. Но влияние обмена теплом и импульсом наиболее сильно сказывается на характер распространения акустических волн при условии:  $\tau_d \omega \sim \tau_t \omega \sim 1$ . В статье исследование звуковых колебаний распространяется на случай  $\tau_d \omega \sim \tau_t \omega \lesssim 10$ .

Предположим, что времена нагрева газа  $\tau_k$  теплом химической реакции и массообмена  $\tau_j$  удовлетворяют следующему неравенству:

$$\begin{aligned} \tau_j \omega &\gg \tau_k \omega \gg 0, \\ \tau_k &= \frac{a^2 d_0 c_V (1 - p_*)}{3\rho \lambda_0 p_*}, \quad \tau_j = \frac{a^2 L d_0 (1 - p_*)}{3\rho \lambda_0 (g - 1) T_0 p_*}. \end{aligned}$$

Характерные времена  $\tau_k$  и  $\tau_t$  связаны между собой соотношением

$$\tau_t = p_* (1 - p_*)^{-1} \Lambda_t \tau_k, \quad \Lambda_t = \rho \frac{d_1 c_1}{d_0 c_V}.$$

Соответствующее линеаризованной системе (1), (2) дисперсионное соотношение имеет вид

$$(kc_0)^2 = \omega^2 \gamma (1 + \Lambda_d - i\tau_d \omega) (1 - i\tau_d \omega)^{-1} B(\omega), \quad (3)$$

$$c_0^2 = \gamma R T_0, \quad \gamma = c_p/c_V, \quad \Lambda_d = \rho \frac{d_1}{d_0}$$

где  $k$  — волновое число, в общем случае комплексное;  $\omega$  — действительная частота;  $c_0$  — «замороженная» скорость звука. Для кинетического режима химической реакции

$$B = \left[ 1 + \frac{\Lambda_t - i\tau_t\omega}{1 - p_*} + (i\tau_k\omega)^{-1} \right] \left[ \gamma + \frac{\Lambda_t - i\gamma\tau_t\omega}{1 - p_*} + (i\tau_k\omega)^{-1} \right]^{-1}.$$

Анализ дисперсионного соотношения (3) показал, что имеет место длинноволновая неустойчивость, т. е. существует критическое значение частоты  $\omega_*$  такое, что волны с частотой  $\omega < \omega_*$  возрастают по амплитуде. Данное явление объясняется тем, что накачка энергии к волне за счет химической реакции превышает диссипацию, вызываемую несовпадением средних скоростей и температур фаз.

### Автоколебания

Ограничимся квадратичным приближением, т. е. в уравнениях, описывающих движение двухфазной смеси, сохраним лишь линейные и квадратичные члены по возмущениям. Предположим, что нелинейность, диссипация и накачка энергии к волне мало влияют на амплитуду стоячих волн. При принятом допущении из (1), (2) следуют нелинейное волновое уравнение для колебаний давления

$$\frac{\partial^2 \widehat{p}}{\partial \tau^2} - \frac{\partial^2 \widehat{p}}{\partial y^2} = \frac{1}{2} \left[ (\gamma - 1) \frac{\partial^2 \widehat{p}^2}{\partial \tau^2} + \frac{\partial^2 \widehat{u}^2}{\partial \tau^2} + \frac{\partial^2 \widehat{u}^2}{\partial y^2} - \frac{\partial^2 \widehat{p}^2}{\partial y^2} \right] + \alpha_1 \widehat{p} - \alpha_2 \frac{\partial \widehat{p}}{\partial \tau} - \alpha_3 e^{-\sigma_t(1-p_*)\tau} \int_1^\tau e^{\sigma_t(1-p_*)\tau} \widehat{p} d\tau + \alpha_4 e^{-\sigma_d\tau} \int_0^\tau e^{\sigma_d\tau} \frac{\partial \widehat{p}}{\partial \tau} d\tau \quad (4)$$

и дифференциальная связь между  $\widehat{p}$  и  $\widehat{u}$

$$\frac{\partial \widehat{p}}{\partial \tau} = -\frac{\partial \widehat{u}}{\partial y}.$$

Здесь введены следующие безразмерные переменные и параметры:

$$\tau = \frac{c_* t}{l}, \quad y = \frac{x}{l}, \quad \widehat{p} = \frac{(1 + \Lambda_t)(1 + \Lambda_d)}{\gamma + \Lambda_t} \frac{p'}{p}, \quad \widehat{u} = \frac{u'}{c_*},$$

$$\alpha_1 = \Lambda_t \sigma_t^2, \quad \alpha_2 = \Lambda_t \sigma_t + \Lambda_d \sigma_d, \quad \alpha_3 = \Lambda_t \sigma_t^3 (1 - p_*),$$

$$\alpha_4 = \Lambda_d \sigma_d^2, \quad \sigma_t = \frac{l}{c_* \tau_t}, \quad \sigma_d = \frac{l}{c_* \tau_d}.$$

Правая часть (4) характеризует нелинейность гидродинамической системы и неконсервативность колебаний.

Для линейной консервативной системы вместо (4) имеем обычное волновое уравнение

$$\frac{\partial^2 \widehat{p}}{\partial \tau^2} - \frac{\partial^2 \widehat{p}}{\partial y^2} = 0, \quad (5)$$

решение которого в ограниченном объеме представимо в виде суммы стоячих волн

$$\widehat{p} = \sum_{n=-\infty}^{\infty} \Phi_n e^{-i\omega_n \tau} \cos(k_{|n|} y + \varphi_{|n|}), \quad \Phi_n^* = \Phi_{-n}, \quad -\omega_n = \omega_{-n}, \quad \omega_n^2 = k_n^2,$$

где  $\Phi_n$  — произвольная амплитуда;  $\omega_n$  — собственная частота моды колебаний с номером  $n$ ;  $\varphi_n$  — фаза.

Заметим, что правая часть (4) имеет более высокий порядок малости, чем левая. Поэтому будем искать решение (4) в виде ряда по собственным модам порождающего линейного консервативного уравнения, считая, что в результате нелинейного взаимодействия, диссипации и на-

качки энергии амплитуды стоячих волн есть медленно меняющиеся функции времени [1, 2]

$$\begin{aligned}\widehat{p} &= \sum_{n=-\infty}^{\infty} \Phi_n(\mu\tau) e^{-i\omega_n\tau} \cos(k_{|n|}y + \varphi_{|n|}), \quad \mu \ll 1, \\ \widehat{u} &= i \sum_{n=-\infty}^{\infty} \operatorname{sgn}(n) \Phi_n(\mu\tau) e^{-i\omega_n\tau} \sin(k_{|n|}y + \varphi_{|n|}).\end{aligned}$$

Подставляя эти выражения в (4), получаем

$$\begin{aligned}\sum_{n=1}^{\infty} \omega_n \left( \frac{dF_n}{d\tau} - (\gamma_n - i(\delta_n + \varepsilon_n)) F_n \right) e^{-i\omega_n\tau} \cos \chi_n = \\ = -\frac{1}{8} i\gamma \sum_{n,m=1}^{\infty} [(\omega_m + \omega_n)^2 F_n F_m e^{-i(\omega_n + \omega_m)\tau} \cos(\chi_n + \chi_m) + \\ + (\omega_m - \omega_n)^2 F_m F_n^* e^{-i(\omega_m - \omega_n)\tau} \cos(\chi_m - \chi_n)].\end{aligned}\quad (6)$$

Здесь

$$\begin{aligned}\omega_n = k_n = \pi n + \varepsilon_n; \quad \chi_n = \pi n y + \Psi_n; \quad \Psi_n = \varepsilon_n y + \varphi_n; \\ F_n = \Phi_n e^{-i\varepsilon_n\tau}; \quad \gamma_n = \frac{1}{2} \left( \frac{\Lambda_t \sigma_t^3 (1 - p_*)}{\sigma_t^2 (1 - p_*)^2 + \omega_n^2} + \frac{\Lambda_d \sigma_d^3}{\sigma_d^2 + \omega_n^2} - \Lambda_d \sigma_d - \Lambda_t \sigma_t \right); \\ \delta_n = \frac{1}{2} \left( \frac{\Lambda_t \sigma_t^4 (1 - p_*)^2}{\omega_n (\sigma_t^2 (1 - p_*)^2 + \omega_n^2)} - \frac{\Lambda_t \sigma_t^2}{\omega_n} - \frac{\Lambda_d \sigma_d^2 \omega_n}{\sigma_d^2 + \omega_n^2} \right).\end{aligned}$$

Считаем, что торцы объема близки к акустически закрытым, т. е.  $|\varphi_n| \ll 1$  и  $|\varepsilon_n| \ll 1$ . Тогда (6) можно свести к бесконечной системе дифференциальных уравнений для комплексных амплитуд

$$\begin{aligned}\frac{dF_n}{d\tau} - (\gamma_n - i(\delta_n + \varepsilon_n)) F_n = -\frac{i\gamma\pi n}{8} \left\{ 2 \sum_{m=1}^{\infty} F_{m+n} F_m^* + \sum_{m=1}^n F_m F_{n-m} \right\}, \\ n = 1, 2, 3, \dots\end{aligned}\quad (7)$$

Введем в рассмотрение действительные амплитуды и фазы, т. е. положим  $F_n = p_n e^{i\theta_n}$  ( $n = 1, 2, \dots$ ), где  $p_n$  — амплитуда,  $\theta_n$  — фаза. Отделяя действительные и мнимые части в (7), получим систему уравнений, описывающую модель нелинейного взаимодействия стоячих волн в квадратичном приближении

$$\begin{aligned}\frac{dp_n}{d\tau} = \gamma_n p_n + \frac{\gamma\pi n}{8} \left\{ 2 \sum_{m=1}^{\infty} p_{n+m} p_m \sin(\theta_{m+n} - \theta_m - \theta_n) - \right. \\ \left. - \sum_{m=1}^n p_m p_{n-m} \sin(\theta_n - \theta_m - \theta_{n-m}) \right\}, \\ p_n \frac{d\theta_n}{d\tau} = -(\delta_n + \varepsilon_n) p_n - \frac{\gamma\pi n}{8} \left\{ 2 \sum_{m=1}^{\infty} p_{n+m} p_m \cos(\theta_{m+n} - \theta_m - \theta_n) - \right. \\ \left. - \sum_{m=1}^n p_m p_{n-m} \cos(\theta_n - \theta_m - \theta_{n-m}) \right\}, \\ n = 1, 2, 3, \dots\end{aligned}\quad (8)$$

Ниже ограничимся случаем взаимодействия четырех мод колебаний ( $n = 1, 2, 3, 4$ ). Необходимым условием существования установившихся амплитуд звуковых волн, отличных от нуля, является наличие хотя бы

одной моды, неустойчивой в линейном приближении, и хотя бы одной моды, затухающей по данному приближению, т. е. в наборе  $\gamma_n$  ( $n = 1, 2, 3, 4$ ) должны содержаться величины разных знаков. Рассмотрим случай неглубокого захода в область неустойчивости ( $\gamma_1 > 0$ ,  $\gamma_2 < 0$ ,  $|\gamma_1| \ll 1$ ), когда увеличивается амплитуда только основного тона, тогда как остальные обертоны затухают вследствие своей большей частоты колебаний. Стационарное решение (8) находится из системы нелинейных алгебраических уравнений относительно  $p_n$  и  $\Delta_n$

$$\gamma_n p_n + \frac{\gamma_{1n}}{8} \left\{ 2 \sum_{m=1}^{4-n} p_{n+m} p_m \sin \Delta_{mn} - \sum_{m=1}^n p_m p_{n-m} \sin \Delta_{(n-m)m} \right\} = 0, \quad (9)$$

$$g_{k+1} - g_k - g_1 = 0, \quad k = 1, 2, 3, \quad g_4 - 2g_2 = 0;$$

$$g_n = -(\delta_n + \varepsilon_n) - \frac{\gamma_{1n}}{8} \left\{ 2 \sum_{m=1}^{4-n} \frac{p_{n+m} p_m}{p_n} \sin \Delta_{mn} - \sum_{m=1}^n \frac{p_m p_{n-m}}{p_n} \sin \Delta_{(n-m)m} \right\} = 0,$$

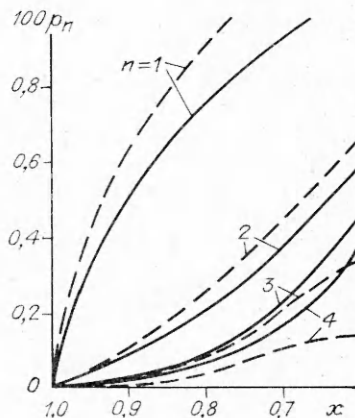
$$\Delta_k = \theta_{k+1} - \theta_k - \theta_1 \quad (k = 1, 2, 3), \quad \Delta_4 = \theta_4 - 2\theta_2.$$

С помощью метода Зейделя находим значения установившихся амплитуд колебаний при учете и без учета дисперсии. Поведение  $p_n$  ( $n = 1, 2, 3, 4$ ) в зависимости от удаления от границы устойчивости представлено на рисунке ( $x = \pi^2/\omega_*^2$ ,  $\omega_*^2 = \sigma_i^2 p_* (1 - p_*)/(2 - p_*)$ ). Сплошные кривые отвечают случаю, когда сдвиги фаз  $\Delta_1 = \Delta_2 = \Delta_3 = \Delta_4 = \pi/2$ , штриховые — отражают влияние дисперсионных эффектов на нелинейное взаимодействие стоячих волн [1]. Из рисунка видно, что дисперсия, вызванная несовпадением средних температур и скоростей фаз газозвеси, приводит к увеличению амплитуд первых обертонов и уменьшению амплитуд последующих гармоник.

Таким образом, данная работа обобщает результаты [1] на ситуацию, когда динамическое и тепловое взаимодействие между фазами определяет не только диссипацию энергии звуковой волны, но и дисперсию фазовой скорости звука. Как показал анализ волнового уравнения (4), учет распределенной дисперсии приводит к значительным изменениям амплитуд автоколебаний в сравнении с бездисперсионным случаем, рассмотренным в [1].

В заключение отметим, что теория, развитая выше, представляет непосредственный практический интерес в связи с проблемами вибрационного горения, так как определение значений амплитуд стоячих волн, самовозбуждающихся в промышленных топках, различных камерах сгорания может быть осуществлено только в рамках нелинейной теории.

Значения амплитуд стоячих волн  $p_n$  в зависимости от удаления от границы устойчивости при следующих значениях параметров:  $p_* = 0,2$ ,  $\Lambda_d = 0,01$ ,  $\gamma = 1,35$ ,  $c_1/c_V = 1$ .



#### ЛИТЕРАТУРА

1. Бувич Ю. А., Федотов С. П. Неустойчивость акустических волн в химически реагирующих газозвесах // ФГВ.— 1985.— 21, № 5.— С. 64.
2. Артамонов К. И., Воробьев А. П. Нелинейная стабилизация неустойчивых акустических колебаний в ограниченной газовыделяющей среде // Изв. АН СССР. МЖГ.— 1978.— № 6.— С. 34.

3. Артамонов К. П. Термодинамическая устойчивость.— М.: Машиностроение, 1982.
4. Нигматулин Р. И. Основы механики гетерогенных сред.— М.: Наука, 1978.
5. Вайнштейн П. Б., Нигматулин Р. И. Горение смесей газа с частицами // ПМТФ.— 1971.— № 4.— С. 19.

г. Свердловск

Поступила в редакцию 19/1 1989,  
после доработки — 4/XII 1989

УДК 536.46 + 661.665.2.046.4

Е. А. Левашов, Ю. В. Богатов, А. А. Миловидов

## МАКРОКИНЕТИКА И МЕХАНИЗМ СВС-ПРОЦЕССА В СИСТЕМАХ НА ОСНОВЕ ТИТАН — УГЛЕРОД

Рассмотрена макрокинетика СВС-систем на основе карбида титана. Использован метод высокочастотной киносъемки, позволивший наблюдать процессы формирования реакционной поверхности и химического реагирования. Механизм горения существенно зависит от удельной поверхности используемого углеродного материала. В случае низкоактивной сажи с удельной поверхностью  $S = 10 \div 20 \text{ м}^2/\text{г}$  зарегистрированы стадии формирования реакционной поверхности и основного химического взаимодействия. В случае высокоактивной сажи с  $S = 50 \div 100 \text{ м}^2/\text{г}$  в зоне прогрева не обнаружено областей капиллярного растекания металлов. Распространение волны горения лимитируется при этом капиллярным растеканием.

В настоящее время сложились несколько противоречивые представления о протекании физико-химических процессов в ведущей зоне волны горения. Так, в [1—4] указывалось, что в зоне прогрева происходит плавление частиц легкоплавкого реагента (титана), его капиллярное растекание по поверхности тугоплавкой сажи с параллельным и последовательным реагированием и образованием карбида титана. В зависимости от размера частиц титана возможен либо диффузионный, либо капиллярный режим горения [2].

В [5] предложен новый механизм реагирования при горении СВС-систем рассматриваемого типа. Методами синхронного излучения на рентгеновском дифрактометре выявлены элементарные процессы, происходящие при плавлении частицы металла-реагента на подложке графита. Жидкий компонент по поверхности графита не растекался. Расплав сразу же образует промежуточные продукты, разделяющие реагенты, а капиллярное растекание происходит по расстилающемуся «ковру» из первичных продуктов, т. е. идет одновременно с экзотермическим реагированием. Указанный механизм переносится на реальные СВС-композиции и делается вывод о ведущей стадии горения, коей является образование первичных продуктов в тонком приповерхностном слое частиц тугоплавкого реагента. Данный механизм позволяет сделать вывод, что нельзя разделять постадийно процессы капиллярного растекания и основного химического реагирования.

Однако, несмотря на высокую информативность метода синхротронного излучения, описанная в [5] методика эксперимента имеет некоторые недостатки, не позволяющие однозначно перенести все выводы модели на реальные СВС-системы. Отметим основные из них: скорость нагрева частицы электронным пучком может быть отлична от скорости нагрева частицы в волне горения реальных СВС-систем; в качестве углеродной подложки используется не сажа, а графит со значительно меньшей реакционной способностью и с адгезией по отношению к расплавам Ti и других металлов [6]; не учитывалось влияние интенсивного газ-выделения, играющего в реальных СВС-процессах важную роль как при подготовке исходных компонентов к реакции, так и при протекании самой реакции; степень разрешения метода ( $10^{-3} \text{ с}$ ) не дает возможности наблюдать стадию капиллярного растекания Ti по саже с характерным временем  $\tau_k = 10^{-4} \text{ с}$  и стадию реакционной диффузии с  $\tau_p =$